

## Paraelektrik ve Ferroelektrik Fazlarda SbSI Kristalı Optik Özelliklerinin Araştırılması

Tahsin ÖZER<sup>1</sup>, Muhammet KARATAŞLI<sup>2</sup>

<sup>1</sup>Osmaniye Korkut Ata Üniversitesi, Bahçe, Meslek Yüksekokulu, Osmaniye.

<sup>2</sup>Çukurova Üniversitesi, Fen Edebiyat Fakültesi, Fizik Bölümü, Adana.

e-posta: [tahsinozer@osmaniye.edu.tr](mailto:tahsinozer@osmaniye.edu.tr)

Geliş Tarihi:01.03.2016; Kabul Tarihi:19.04.2016

### Özet

#### Anahtar kelimeler

SbSI; Optik ve  
Dielektrik Özellik;  
Kırılma İndisi; Yoğunluk  
Fonksiyonel Teorisi.

SbSI kristalinin optik özellikleri yoğunluk fonksiyoneli teorisi altında SIESTA yazılımı ile araştırıldı. Genelleştirilmiş gradiyent yaklaşımı(GGA)'nda psödo-potansiyel yöntem kullanıldı. Her iki fazda bazı optik katsayılar hesaplandı. Dielektrik fonksiyonun reel ve sanal kısımlarından; kırılma indisini, yansima ve soğurma katsayıları gibi optik katsayılar hesaplanabilir. Hesaplanan değerler ulaşılabilen literatür değerleri ile kıyaslandı.

## Investigation of the Optical Properties of SbSI Crystalline in the Paraelectric and the Ferroelectric Phase

#### Keywords

SbSI; Optical and  
Dielectric Properties;  
Refractive Indices;  
Density Functional  
Theory.

### Abstract

Under density functional theory with SIESTA software of the SbSI crystal optical properties were investigated. SbSI crystalline in paraelectric and ferroelectric phases, the generalized gradient approximation (GGA) using the pseudo-potential method. Some optical coefficients in the both phases were calculated. The optical constants such as refractive index, reflection, and absorption coefficient are derived from the computed real and imaginary parts of the dielectric function. The calculated values were compared with available experimental and theoretical results.

© Afyon Kocatepe Üniversitesi

### 1. Giriş

SbSI(Antimon sülfo iod),  $\text{A}^5 \text{B}^6 \text{C}^7$  genel formülü ile bilinen yarı iletken katılar grubundadır. Buradaki  $\text{A}$ ;Sb, Bi; As,  $\text{B}$ ;S, Se; O,  $\text{C}$ ;Cl, Br, I elementlerini sembolize eder. Bu grubun en iyi bilinen üyesi SbSI'dır. SbSI'nın ferroelektrik yarı iletken özelliğinin anlaşılmasıından sonra alışılmadık sayıda özellikleri araştırılmaya başlandı. Bu özellikler arasında pyroelektrik, pyro-optik, piezoelektrik, elektromekanik, elektro-optik ve diğer doğrusal olmayan optik etkiler vardır. SbSI'nın bu özellikleri yüzünden ışıl görüntüleme, ışık ayarlayıcı (light modülatör), ferroelektrik alan etki transistörü, gaz sensörü, elektro-mekanik dönüştürücülerin belirli tiplerinde piezoelektrik malzemelerin kullanılması çekici ve uygun materyal olmuştur (Nowak ve ark., 2008).

Diger ferroelektrik kristaller ile SbSI karşılaştırıldığında, SbSI'nın en önemli özelliği;  $T_c$ 'nin oda sıcaklığına yakın ve yasak enerji bant aralığının oldukça küçük olmasıdır. Yüksek hacimli piezoelektrik modülü  $d_33 = 10 \times 10^{-10} \text{ C/N}$  ile saf SbSI en iyi piezoelektrik kristallerden biridir. Bu özelliği ile çok önemli elektro-akustik dönüştürücüdür (Garbarz-Glos, B., 2003).

Paraelektrik ve ferroelektrik faza sahip olan SbSI oda sıcaklığı civarında faz dönüşümü yapar. Çoğu  $\text{A}^5 \text{B}^6 \text{C}^7$  grubu yarı iletken kristaller, paraelektrik fazda ( $D_{2h}^{16}$ -Pnam) uzay grubunda bulunurlar. Birim hücresinde 4 molekül bulunur(Madelung, 2004). Curie sıcaklığının altında ise ferroelektrik (FE) fazda ve  $mm2$  ( $C_{2v}^9$ ) uzay gurubundadır.

## 2. Materyal ve Metot

Bir malzeme üzerine elektromanyetik ışının geldiği zaman malzemenin elektronları ile etkileşime girer. Bu etkileşim sonucunda soğurulma, yansımıma, kırılma ve geçirgenlik gibi bazı optik olaylar oluşur. Malzeme üzerine gelen fotonların enerjisi elektronları uyarmak için yeterli olmazsa fotonlar soğurulmayıp geçirilirler. Bir fotonun soğrulması veya geçirilmesi; malzemenin metal, yarıiletken ya da ne kadar iletken oluşuna, atomların dizilişine ve fotonun enerjisine bağlıdır.

Elektrik akısını yâda alanını geçiren ama yüklü parçacıkların geçmesine izin vermeyen malzemelere dielektrik madde denilir. Kompleks dielektrik fonksiyonu ile bir kristalin elektronik uyarılma spektrumu, frekansa bağlı olarak,

$$\epsilon(w) = \epsilon_1(w) + i\epsilon_2(w) \quad (1)$$

eşitliği ile verilebilir. Kompleks dielektrik fonksiyonun real kısmı  $\epsilon_1(w)$  ve sanal kısmı  $\epsilon_2(w)$  Kramers-Kroning bağıntıları ile birbirine bağlı olduğundan istenilen tüm tepki bilgisini içerirler. Real kısım  $\epsilon_1$  malzemenin fiziksel özelliklerini, sanal kısım  $\epsilon_2$  ise bu malzemedeki enerji kayıplarını gösterir.  $\epsilon_2$  değeri her zaman pozitif olup bantlar arası geçişlerin yoğun olduğu enerji bölgesinde maksimum değere ulaşır.  $\epsilon_1$  değeri bantlar arası geçiş bölgesinde işaret değiştirdiğinden hem pozitif hem de negatif olabilmektedir.  $\epsilon_1$  değerinin sıfır olduğu noktalar yansımamanın azaldığı noktalardır(Koç, 2010). Bu çalışmada dielektrik fonksiyonunun real ve sanal kısımları SIESTA yazılımları ile elde edilmiştir.

Dielektrik fonksiyonun reel  $\epsilon_1(w)$  ve sanal  $\epsilon_2(w)$  kısımları kullanılarak; kırılma indis  $n(w)$ , soğurma katsayısı  $\alpha(w)$ , sönüüm katsayısı  $k(w)$ , yansımıma katsayısı  $R(w)$ , enerji kayıp fonksiyonu  $L(w)$  aşağıdaki eşitlikler ile verilir,

$$n(w) = \left(1/\sqrt{2}\right) \left[ \epsilon_1(w) + \sqrt{\epsilon_1^2(w) + \epsilon_2^2(w)} \right]^{\frac{1}{2}} \quad (2)$$

$$\alpha(w) = \sqrt{2}w \left[ \sqrt{\epsilon_1^2(w) + \epsilon_2^2(w)} - \epsilon_1(w) \right]^{\frac{1}{2}} \quad (3)$$

$$k(w) = \left(1/\sqrt{2}\right) \left[ \sqrt{\epsilon_1^2(w) + \epsilon_2^2(w)} - \epsilon_1(w) \right]^{\frac{1}{2}} \quad (4)$$

$$R(w) = \left( \frac{\sqrt{\epsilon(w)} - 1}{\sqrt{\epsilon(w)} + 1} \right)^2 \quad (5)$$

$$L(w) = \text{Im} \left[ \frac{-1}{\epsilon(w)} \right] = \epsilon_2(w) / [\epsilon_1^2(w) + \epsilon_2^2(w)] \quad (6)$$

Yoğunluk fonksiyoneli teorisi altında SIESTA(Ordejón ve ark., 1996; Soler ve ark., 2002) yazılım kodu ile SbSI kristalinin optik özellikleri, genelleştirilmiş gradiyent yaklaşımı(GGA)'nda psödo-potansiyel yöntem kullanılarak araştırıldı. Hesaplamalarda **Sb**(5s<sup>2</sup>p<sup>3</sup>), **S**(3s<sup>2</sup>p<sup>4</sup>), **I**(5s<sup>2</sup>p<sup>5</sup>) gerçek valans elektronları olarak alındı. Brillouin bölgesinde özel  $k$  noktalarının üretimi için 8x8x8 Monkhorst-Pack örgü ağı kullanıldı. Hesaplamalarda ilk önce PAO.EnergyShift ve MeshCutoff değerleri optimize edildi. Daha sonra bu değerler kullanılarak toplam enerjinin minimizasyonu ile örgü parametreleri ve atomik pozisyonların optimizasyonu yapıldı. Optimizasyon sonucunda elde edilen PAO.EnergyShift değeri her iki faz için 270 meV, MeshCutoff değeri 360 Ry(ferroelektrik) ve 420 Ry(paraelektrik) alınmış olup elde edilen örgü parametreleri Tablo 1.'de verilmiştir. Daha sonraki tüm hesaplama adımlarında bu optimize değerler kullanılmıştır.

Tablo 1:Hesaplamalarda kullanılan optimize örgü parametreleri değerleri(Å)

	Bu çalışmada		%Hata
Ferroelektrik	x	8,47592	8,5091 <sup>(a)</sup> 0,39
	y	10,06020	10,0831 <sup>(a)</sup> 0,23
	z	4,05522	4,099 <sup>(a)</sup> 1,07
Paraelektrik	x	8,47214	8,52 <sup>(b)</sup> 0,56
	y	10,06018	10,13 <sup>(b)</sup> 0,69
	z	4,05399	4,08 <sup>(b)</sup> 0,64

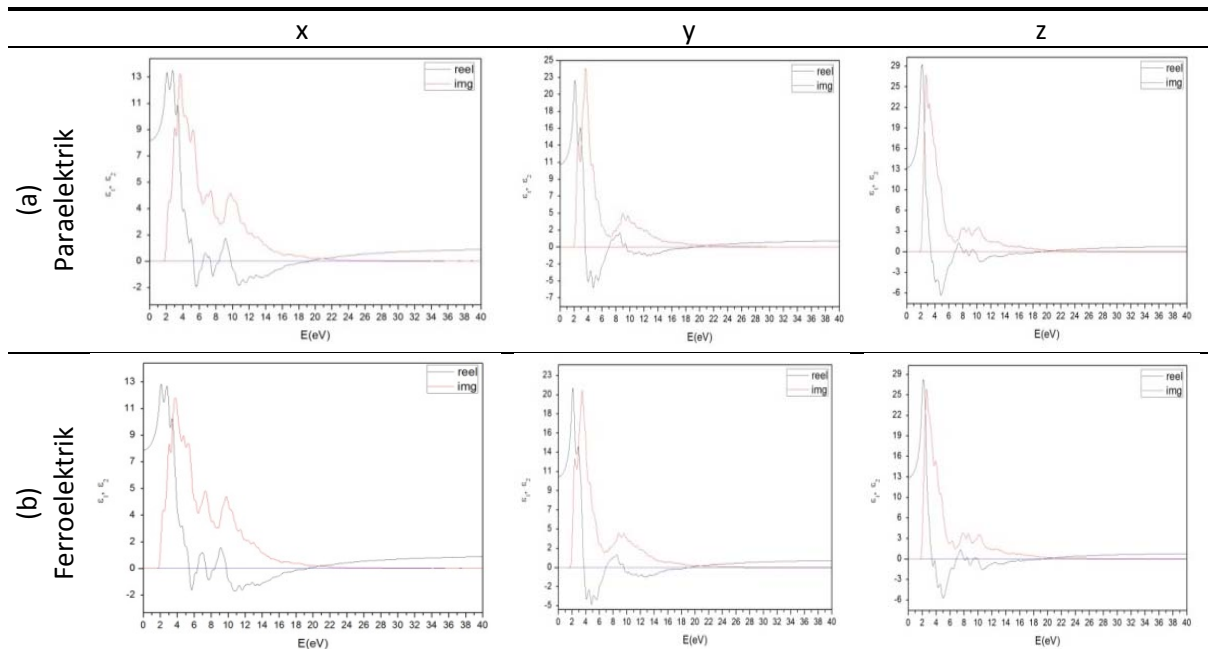
<sup>(a)</sup> Garbarzz-Glos, 2003 <sup>(b)</sup> Perry, 1970

### 3. Bulgular ve tartışma

Ortombiek kristaller (iki optik eksenli) için köşegen elemanları birbirinden farklıdır Dolayısı ile üç bağımsız bileşeni vardır.

$$\varepsilon_{xx}, \varepsilon_{yy}, \varepsilon_{zz}, \quad (7)$$

SbSI kristalinin, kristal eksenlerinde hesaplanan fonon enerjisine bağlı kompleks dielektrik fonksiyonun reel ve sanal(img) kısımları x-, y-, ve z- eksenleri boyunca hesaplanarak Şekil 1.'de gösterilmiştir. Statik dielektrik sabiti; paraelektrik fazda 10,80, ferroelektrik fazda 10,48 olarak hesaplanmıştır.



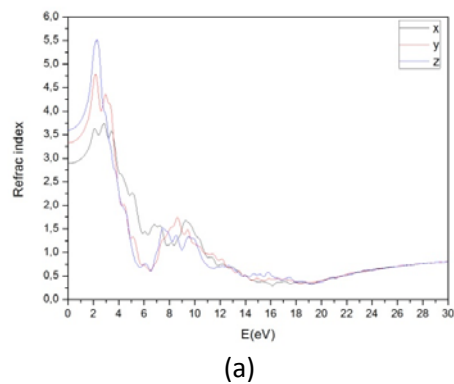
Şekil 1. Lineer dielektrik tensörün xx, yy, zz bileşenlerinin reel ( $\varepsilon_1$ ) ve sanal ( $\varepsilon_2$ ) kısımları

	Bu çalışma	Deney <sup>(2)</sup>	Teorik GGA <sup>(1)</sup>
Paraelektrik	$n_x$	2.889	2.87
	$n_y$	3.330	3.63
	$n_z$	3,599	4.55
Ferroelektrik	$n_x$	2,842	2.87
	$n_y$	3,277	3.57
	$n_z$	3,554	4.44

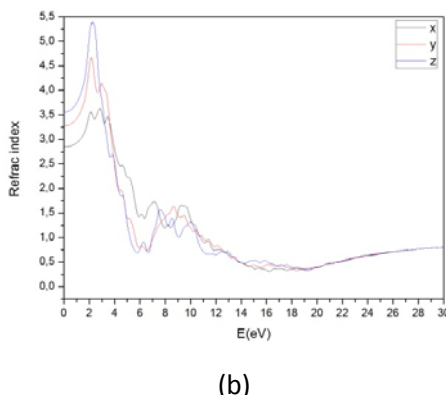
Kompleks dielektrik fonksiyonun reel( $\varepsilon_1$ ) ve sanal ( $\varepsilon_2$ ) kısımları Eşitlik 2.'de kullanılarak kırılma indisisi(refract index)  $n(w)$ , . x-, y-, ve z- eksenleri boyunca hesaplanarak Şekil 2.'de gösterilmiştir. Paraelektrik ve ferroelektrik fazlarda hesaplanan kırılma indisisi Tablo 3'de verilmiştir. Audzijonis ve ark.(2012) Wien2k kod ile GGA yaklaşımıyla hesaplamışlardır. Tablo 2.'den de görüleceği üzere bu çalışma ile bulunan değerler, teorik ve deneyel çalışma sonucu bildirilen veriler ile uyumludur.

Table 2:  $n_x$ ,  $n_y$ ,  $n_z$  kırılma indislerinin literatür değerleri ile kıyaslanması

<sup>(1)</sup>:Audzijonis ve ark.(2012), <sup>(2)</sup>:Sandercock,1970.



(a)



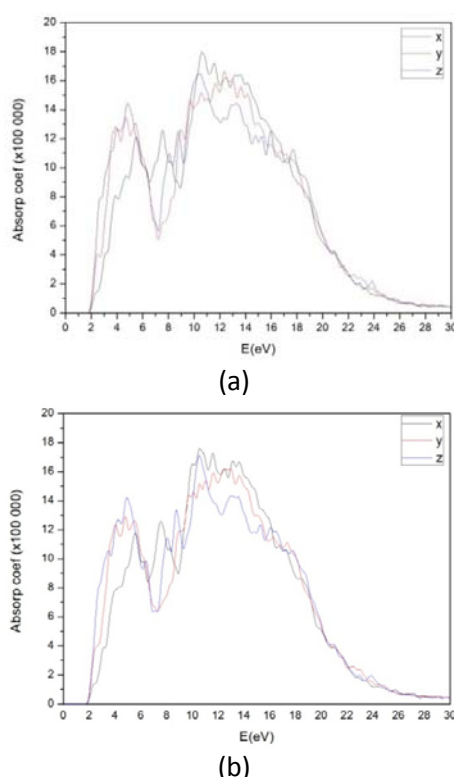
(b)

**Şekil 2.** a) Paraelektrik, (b) Ferroelektrik fazda x, y ve z eksenleri  $n_x$ ,  $n_y$ , ve  $n_z$  kırılma indisleri

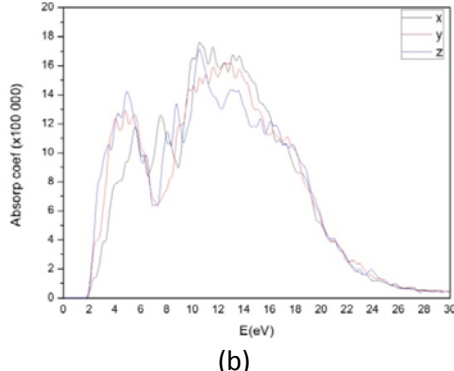
Şekil 2.'de gösterildiği gibi her iki fazda da 0-3 eV aralığında artarken, 3-6 eV aralığında azalmaktadır. Kırılma indis 6 eV değerinden sonra yaklaşık olarak 1 civarında sabit kalmaktadır.

Kompleks dielektrik fonksiyonun reel( $\epsilon_1$ ) ve sanal ( $\epsilon_2$ ) kısımları Eşitlik 3.'de kullanılarak soğurma katsayısı(absorb coef)  $\alpha(w)$ , . x-, y-, ve z- eksenleri boyunca hesaplanarak Şekil 3.'de gösterilmiştir.

Şekil 3.'de gösterildiği gibi her iki fazda da absorb coef, 2-5 eV aralığında hızla artmaktadır. 5-7 eV aralığında ise hızla azalmaktadır. Yaklaşık olarak 14 eV değerinden sonra hızla azalmıştır.



(a)

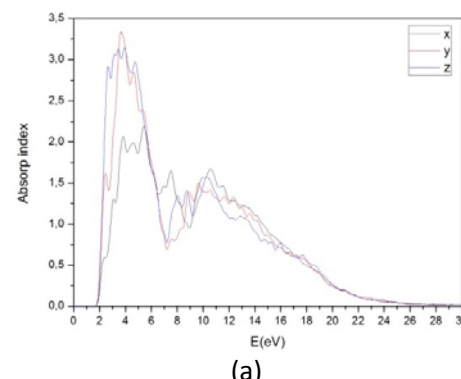


(b)

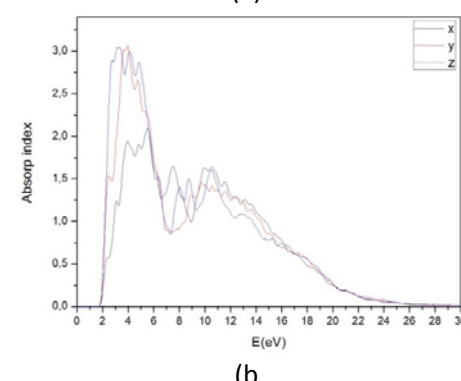
**Şekil 3.** (a) paraelektrik, (b) ferroelektrik fazda absorb coef  $\alpha(w)$

Kompleks dielektrik fonksiyonun reel( $\epsilon_1$ ) ve sanal ( $\epsilon_2$ ) kısımları Eşitlik 4.'de kullanılarak söñüm katsayısı(absorb index)  $k(w)$ , . x-, y-, ve z- eksenleri boyunca hesaplanarak Şekil 4.'de gösterilmiştir. Şekil 4.'de görüldüğü gibi her iki fazda da 2-4 eV aralığında hızla artmış, 4-7 eV aralığında da hızla azalmıştır. 7-11 eV aralığında bir miktar artma olsa da 11 eV 'dan sonra hızla azalmıştır.

Kompleks dielektrik fonksiyonun reel( $\epsilon_1$ ) ve sanal ( $\epsilon_2$ ) kısımları Eşitlik 5.'de kullanılarak yansılma katsayısı(reflect coef)  $R(w)$ , . x-, y-, ve z- eksenleri boyunca hesaplanarak Şekil 5.'de gösterilmiştir. Şekil 5.'den görüldüğü gibi reflection coefficient her iki fazda da 0-5 eV aralığında hızla artmasına rağmen 5-7 eV aralığında azalmıştır.

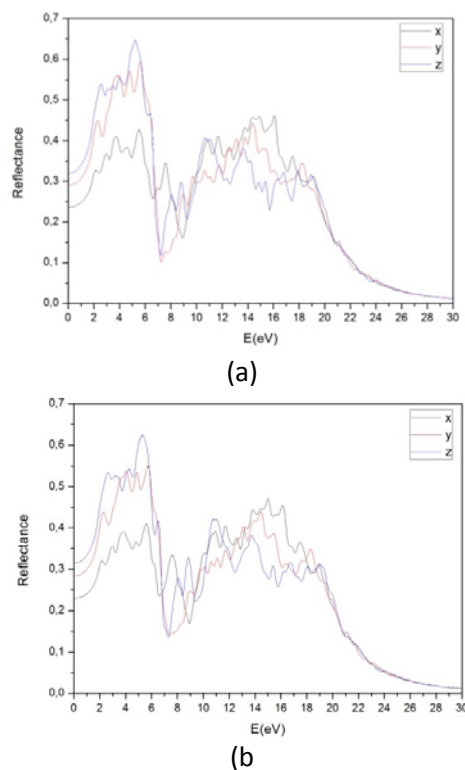


(a)



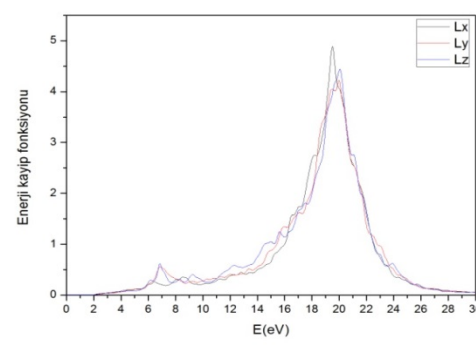
(b)

**Şekil 4.** (a)paraelektrik, (b)ferroelektrik absorb index  $k(w)$



**Şekil 5.** (a)paraelektrik, (b)ferroelektrik reflect coef  $R(w)$

Kompleks dielektrik fonksiyonun reel( $\epsilon_1$ ) ve sanal ( $\epsilon_2$ ) kısımları Eşitlik 6.'de kullanılarak enerji kayıp fonksiyonu (energy loss function)  $L(w)$ , .x-, y-, ve z- eksenleri boyunca hesaplanarak Şekil 6.'de gösterilmiştir. Hesaplanan pikler; paraelektrik fazda,  $L_x=19.49$   $L_y=19.76$   $L_z=19.84$  ferroelektrik fazda ise  $L_x=19.51$   $L_y=20.02$   $L_z=20.04$ 'dir.  $\epsilon_1 = 0$  olduğu yerler; paraelektrik fazda,  $\epsilon_x(5.29-6.41-7.33-8.37-9.80-19.31)$ ,  $\epsilon_y(3.62-7.01-9.52-19.25)$ ,  $\epsilon_z(3.41-6.86-8.03-8.25-8.60-9.13-9.68-19.48)$  ferroelektrik fazda ise  $\epsilon_x(5.39-6.37-7.37-8.41-9.78-19.35)$ ,  $\epsilon_y(3.74-6.96-9.58-19.21)$ ,  $\epsilon_z(3.37-6.88-7.99-8.29-8.56-9.35-9.94-19.35)$ .



**Şekil 6.** (a)paraelektrik, (b)ferroelektrik energy lose function  $L(w)$

#### 4. Sonuç

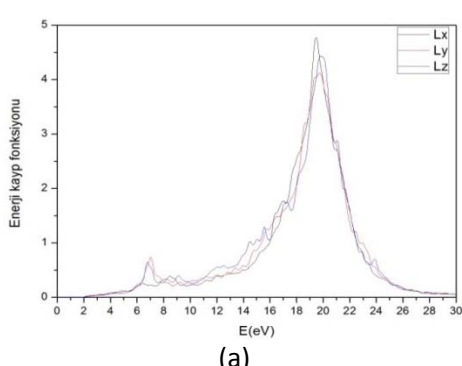
Bu çalışmada ilk önce; SbSI kristali paraelektrik ve ferroelektrik fazlarda yapısal optimizasyonu yapılmıştır. Optimizasyon sonucunda örgü parametre değerleri ortalama %0,63 (paraelektrik) ve %0,56 (ferroelektrik) farkla hesaplanmıştır.

Optimize değerler kullanılarak SbSI kristalinin her iki fazında kompleks dielektrik fonksiyonun reel ve sanal kısımları hesaplandı. Statik dielektrik sabiti paraelektrik fazda 10,80, ferroelektrik fazda ise 10,48 olarak hesaplanmıştır.

SbSI'nın paraelektrik ve ferroelektrik fazlarında; kırılma indis  $n(w)$ , soğurma katsayı  $\alpha(w)$ , sönüüm katsayı  $k(w)$ , yansima katsayı  $R(w)$ , enerji kayıp fonksiyonu  $L(w)$  gibi optik özellikleri dielektrik fonksiyonun reel  $\epsilon_1(\omega)$  ve sanal  $\epsilon_2(\omega)$  kısımları kullanılarak hesaplanmıştır. Her iki fazda hesaplanan kırılma indis Tablo 2.'de verilmiştir. Bu sonuçlar teorik ve deneyel değer ile uyumludur(Audzijonis ve ark., 2012; Sandercock, 1970).

#### Kaynaklar

- NOWAK, M.; SZPERLICH, P.; BOBER, L.; SZALA, J.; MOSKAL, G.; STROZ, D.; 2008. Sonochemical preparation of SbSI gel. . Ultrasonics Sonochemistry 15, 709-716.
- GARBARZ-GLOS, B., 2003 Dielectric properties of SbSI- Modified in phase transition region. Ferroelectrics, 292 (1): 137-143.
- MADELUNG, O., 2004. Semiconductors: Data handbook. Springer.
- Koç, H., 2010. Sb<sub>2</sub>S<sub>3</sub> ve SbI<sub>3</sub> Kristallerin enerji band yapısı ve optik özellikleri: ab-initio (temel prensip) hesaplamaları. Doktora Tezi, Çukurova Üniversitesi Fen Bilimleri Enstitüsü, Adana, 137.



Ordejón P., Artacho E., Soler J. M., 1996. Self-consistent order-N density functional calculations for very large systems. Phys. Rev. B (Rapid Comm.), 53: R10441-R10444 .

Soler, J. M.,Artacho, E., Gale, J.D.,Garcia,A.,Junquera, J., Ordejon P. and Portal D.S., 2002. The SIESTA method for ab initio order-N materials simulation. J. Phys. Condens. Matter, 14: 2745- 2779.

PERRY, C. H., 1970. Annual Report on The Study of Optical Properties and Collective Oscillations in New Solid State Materials as a Function of Temperature Using Infrared and Raman Techniques. Northeastern University, Boston.117 s.

Audzijonis, A., Sereika, R., Zaltauskas, R., 2012. Birefringence and refractive indices of ferroelectric SbSI. Phase Transitions, 85, 6, 542–552.

Sandercock, J.R., 1970. Brillouin scattering study of SbSI using a double-passed, stabilised scanning interferometer. Optics communications, 2,2, 73-76.